

長大吊橋補剛トラスのねじりに耐する静力学的研究

大阪大学工学部 正員 小林定夫
建設省近畿地方建設局 正員 相良正次
大阪大学工学部 正員 西村宣男

1. 考え方 本州四国連絡橋をはじめとして長大吊橋の補剛構造としては耐風安定性の観点からトラス形式が採用されるのが一般的である。吊橋の複雑な振動現象を解析する際等では補剛トラスを立体トラスとして解析するよりも、連続体力学に基づく換算ねじり剛性や曲げねじり剛性を用いる方が便利である。従来はせん断流理論に基づく Bleich や Stüssi の理論が用いられてきたが、これらの理論では立体トラスの特性とともに曲げねじり剛性に対する対傾斜の変形の影響が充分に把握されていない。本研究では吊橋補剛トラスのねじり特性を換算ねじり剛性 E_J 、換算曲げねじり剛性 $E_c C_w$ でかなり正確に表現できるように薄肉構造理論と対比しながら解析を行なった。なお Fig. 1 に示すような準箱型トラスを対象として取扱うが、このタイプのトラスは本州四国連絡橋 明石-鳴門ルートの中央径間 1500m 吊橋で採用される予定のものである。

2. 基礎的概念 薄肉ばりのねじりでは薄板面内にせん断応力とその軸方向変化による垂直応力が生じる。トラスの場合これら2つの応力に相当するものとして各部材に部材力を生じる。単純ねじりの際には薄肉ばりにはせん断応力しか生じないのに対してトラスでは斜材のみならず弦材にも部材力を生ずる。また曲げねじりの際にはトラスには上下弦斜材のみならず鉛直弦にも部材力を生ずるが、これに反して薄肉ばりの曲げねじりでは橋軸方向に垂直方向の垂直応力を生じない。ところがトラスのねじり変形を解析する際に直接トラスの部材力を求めないで、パネル面伝達力を薄肉ばりの場合のせん断応力や垂直応力に匹敵するものとして用いる。パネル面伝達力とは Fig. 1 に示す連続する補剛トラスから Fig. 2 に示す1パネルを取出したとき隣接パネルの斜材及柱材から伝達するせん断力及び軸方向力である。パネル面伝達力と薄肉ばりの応力の間に次のような相似性がある。

1) トラスのねじりモーメントはパネル面伝達力による断面内トルクの和で表えられる。

$$\text{Fig. 2 では } T = Y_{rb} + 2X_{rb}$$

2) 単純ねじりの場合はパネル面伝達せん断力のみで軸方向力は働くかない。

3) 曲げねじりモーメントは $M_{ur} = N_r b h$

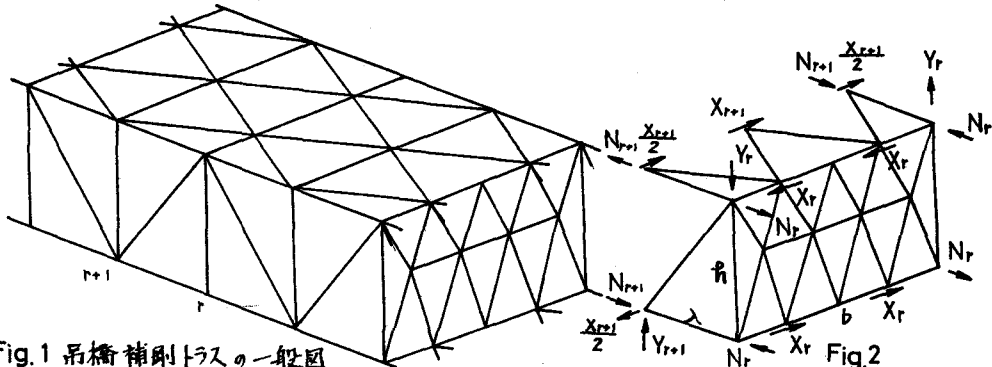


Fig. 1 吊橋補剛トラスの一般図

3. パネル面伝達力 Fig. 2 に示すようにトラスの格点 r 断面にパネル面伝達力 X_r , Y_r 及び N_r が作用して、 λ と α を格点 $r+1$ 断面でのパネル面伝達力は以下の諸等によつて与えられる。

$$\text{主構の釣合より } (N_{r+1} - N_r + S_r \cos \alpha) \frac{h}{2} = (Y_r - y_{1,r} - y_{2,r}) \lambda \quad (1)$$

$$\text{横構の釣合より } S_r \sin \alpha = \frac{X_{r+1}}{2} \quad (2)$$

$$\text{対傾構の釣合より } (y_{1,r} + y_{2,r}) b + 2(X_r - X_{r+1}) \frac{h}{2} = 0 \quad (3)$$

ここで h : トラス高 b : トラス幅 λ : パネル長 S_r : 橫構斜材の部材力

(1)～(3)式より

$$X_r = \frac{b Y_r}{4 h} + \frac{X_{r+1}}{2} - \frac{b}{4 \lambda} (N_{r+1} - N_r) \quad (4)$$

$$Y_{r+1} = \frac{Y_r}{2} + \frac{\lambda X_r}{b} + \frac{h}{2 \lambda} (N_{r+1} - N_r) \quad (5)$$

$$y_{1,r} + y_{2,r} = \frac{Y_r}{2} - \frac{\lambda X_r}{b} - \frac{h}{2 \lambda} (N_{r+1} - N_r) \quad (6)$$

左端パネル $r=0$ のとき $X_0 = 0$, $Y_0 = P$, $N_0 = 0$

例として Fig. 3 に示す片持トラスのパネル面伝達力を表 1 に示す。

表 1 片持トラスのパネル面伝達力

断面	X	Y	N
0	0	P	0
1	$\frac{bP}{4h} - \frac{bN_1}{4\lambda}$	$\frac{P}{2} + \frac{\lambda N_1}{2\lambda}$	N_1
2	$\frac{bP}{4h} - \frac{b(N_2 - N_1)}{4\lambda}$	$\frac{P}{2} + \frac{\lambda(N_2 - N_1)}{2\lambda}$	N_2
3	$\frac{bP}{4h} - \frac{b(N_3 - N_2)}{4\lambda}$	$\frac{P}{2} + \frac{\lambda(N_3 - N_2)}{2\lambda}$	N_3
4	$\frac{bP}{4h} - \frac{b(N_4 - N_3)}{4\lambda}$	$\frac{P}{2} + \frac{\lambda(N_4 - N_3)}{2\lambda}$	N_4
r	$\frac{bP}{4h} - \frac{b(N_r - N_{r-1})}{4\lambda}$	$\frac{P}{2} + \frac{\lambda(N_r - N_{r-1})}{2\lambda}$	N_r

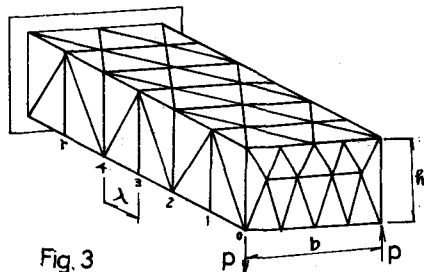


Fig. 3

一般にパネル面伝達力と断面モーメントの間に次の関係がある。

$$X_r = \frac{T}{4h} - \frac{M_{w,r+1} - M_{w,r}}{4\lambda h} \quad (7) \quad Y_r = \frac{T}{2b} + \frac{M_{w,r+1} - M_{w,r}}{4\lambda b} \quad (8)$$

$$N_r = \frac{M_{w,r}}{b h} \quad (9)$$

4. 単純ねじりの部材力とねじり剛性

単純ねじりの場合にはパネル面伝達軸方向力 $N_r = 0$ 。従つ $X_r = \frac{T}{4h}$, $Y_r = \frac{T}{2b}$

部材力は 主構斜材 $S_d = \frac{T \lambda \alpha}{2 \lambda b}$ 主構弦材 $S_c = \frac{T \lambda}{2 \lambda b}$

$$\text{横構斜材 } S_r = \frac{T \alpha}{2 \lambda b}$$

ここで α はそれぞれ主構斜材、横構斜材長であり、主構弦材は上下弦材のどちらか一方だけに部材力が作用する。

ねじり剛性 G_J は Fig. 4 に示す準箱型トラスの 1 パネルの変形を考へて次式で与えられる。

$$G_J = \frac{b^2 \lambda}{2 A_f} \quad (10)$$

$$\Delta J = \frac{1}{E A_b} \frac{\Delta b^3}{4 h^2} + \frac{1}{E A_c} \frac{\Delta \lambda^3}{4 h^2} + \frac{1}{E A_r} \frac{\Delta d^3}{h^2}$$

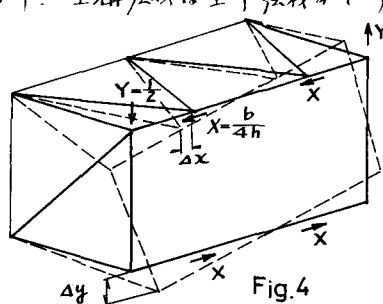


Fig. 4

たゞし端部キルでは端部キルにも部材力が作用する。ねじり剛性 $G_s J$ は

$$G_s J = \frac{b^3 \lambda}{2 A_0} \quad \Delta_y = \frac{1}{2} \sum \frac{s_i^2}{E A_i} \Delta_i$$

5. 曲げねじり剛性

薄肉ばりのねじりに關する基礎方程式は

$$G_s J \varphi' - E_s C_w \varphi''' = T \quad (11)$$

境界条件 $\varphi(0) = 0, \varphi'(0) = 0, \varphi'(\lambda) = 0$ のもと T の (11) 式の解は

$$\varphi(x) = \frac{T}{G_s J \alpha} (\alpha x - \tanh \alpha x) \quad T = 1 \quad \alpha^2 = \frac{G_s J}{E_s C_w}$$

Fig.5 に示すようなト拉斯の単一バネルを考えて点 a の固定点 C に対するたわみは

$$\delta_a = \frac{b}{2} \varphi(\lambda) = \frac{T b}{2 G_s J \alpha} (\alpha \lambda - \tanh \alpha \lambda) \quad (12)$$

次に Fig.5 の自由端にバネル間伝達力 X, Y が作用したときの点 a のたわみを立体ト拉斯で解いて求めよ。

$$\delta_a = \frac{1}{2} \sum \frac{\bar{s}_i^2 \Delta_i}{E A_i} Y + \frac{1}{2} \sum \frac{\bar{s}_i s_i \Delta_i}{E A_i} X \quad (13)$$

ここで s_i は $Y=1$ が作用したときの部材力

\bar{s}_i^* は $X=1$ が作用したときの部材力

また、バネル間伝達力は中間バネルでは $X = \frac{bP}{4\pi}, Y = \frac{P}{2}$

端部キルでは $X = 0, Y = P$ と考える。

(12), (13) 式より α 値を求めるヒト拉斯の曲げねじり剛性は $E_s C_w = \frac{1}{\alpha^2} G_s J$ で与えられる。

6. 数値計算

部材の断面積比 $A_D/A_c = 0.37, A_D/A_r = 1.32$ ト拉斯の幅・バネル長さ比 $b/\lambda = 3.6$ とした場合の無次元化したト拉斯のねじり剛性 $G_s J/\lambda^2 EA_0$ と b/λ の関係を Fig.6 に。又そのときの部材力を Fig.7 に示す。

更に右に示す対傾構部材の断面積比の場合の曲げねじり剛性を Fig.8 に示す。

Fig.6 ねじり剛性

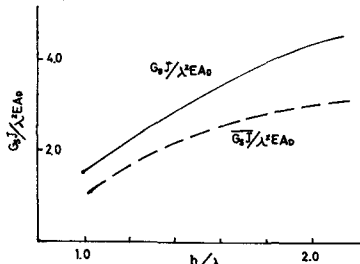


Fig.7 単純ねじり部材力

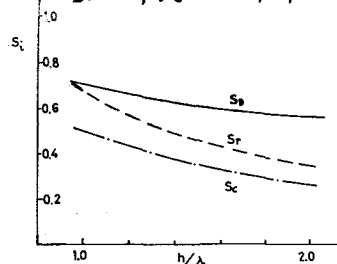
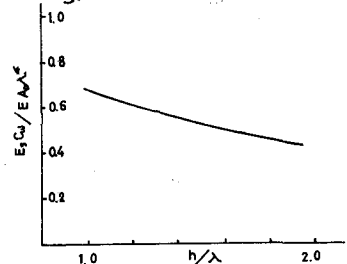
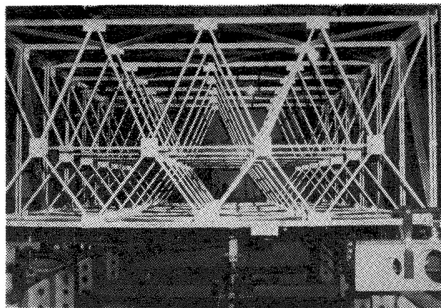


Fig.8 曲げねじり剛性

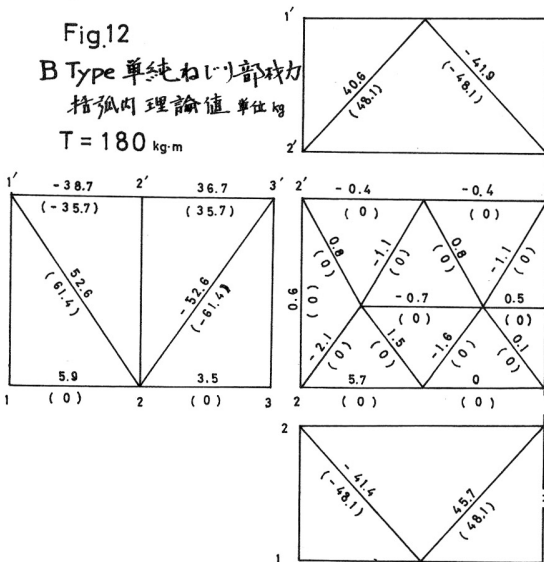
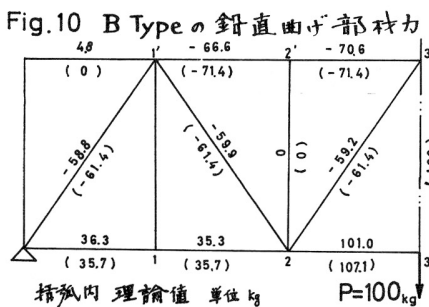
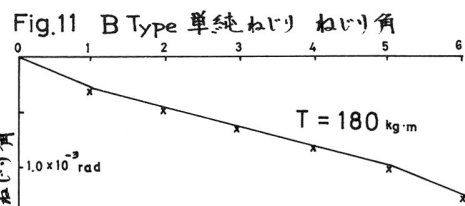
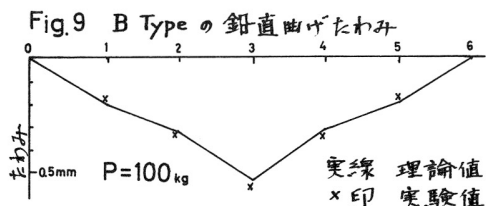


7. 模型実験 等真に示す上うな b パネルトラスを用いてねじり実験を行なった。対象は本州四国連絡橋の 1500 m 吊橋の補剛トラスで縮尺は 1/20。模型諸元を表乙に示す。B Type についての鉛直曲げ及び単純ねじりの変形量(たわみ又はねじり角)と部材力の実験値及び理論値を Fig. 9 ～ Fig. 12 に示す。なお模型に使用したアルミ材の弾性係数は引張試験の結果より $7.0 \times 10^5 \text{ kg/cm}^2$ とし $E = 1$ とした。



表乙 模型諸元

TYPE 諸元	A	B	C	TYPE 諸元	A	B	C
スパン l	300 cm	300 cm	300 cm	主構斜材長 a_D (断面積 A_D)	78.1 cm (1.07 cm ²)	86.0 cm (1.07 cm ²)	94.3 cm (1.07 cm ²)
幅員 b	180 cm	180 cm	180 cm	垂直斜長 a_V (断面積 A_V)	60 cm (0.81 cm ²)	70 cm (0.81 cm ²)	80 cm (0.81 cm ²)
パネル長 λ	50 cm	50 cm	50 cm	横構斜材長 a_H (断面積 A_H)	67.3 cm (0.81 cm ²)	67.3 cm (0.81 cm ²)	67.3 cm (0.81 cm ²)
トラス高 h	60 cm	70 cm	80 cm	対称構斜材長 a_{DP} (断面積 A_{DP})	45 cm (0.91 cm ²)	45 cm (0.91 cm ²)	45 cm (0.91 cm ²)
水平材位置 h_1	30 cm	40 cm	50 cm	対称横斜材長 a_{DH} (断面積 A_{DH})	37.5 cm (0.66 cm ²)	45.9 cm (0.66 cm ²)	54.8 cm (0.66 cm ²)
主構弦材長 a_C (断面積 A_C)	50 cm (2.88 cm ²)	50 cm (2.88 cm ²)	50 cm (2.88 cm ²)	対称横斜材長 a_{DM} (断面積 A_{DM})	45 cm (0.60 cm ²)	45 cm (0.60 cm ²)	45 cm (0.60 cm ²)



8. あとがき 曲げねじりの実験値と理論値の比較等は講演会当日に発表する。

以上のトラスのねじり解析を吊橋に適用する方法や問題点については次の機会に申し上げる。